

(討25) 鉄鋼における焼入れ時効現象について

大阪大学工学部冶金学教室

○美馬源次郎

緒言

金属における析出硬化現象は鋼のすぐれた金属合金材料強化の有力手段の一つの方江として古くから研究がなされ膨大な数の研究報告がある。本報告では鋼の時効現象について最近研究が注目され、いろいろつかの興味ある問題点について概説すると共に著者等によつて行われた研究の一部を報告する。

近年透過電子顕微鏡による試料の直接観察が可能になり、時効現象と金属格子中に存在する格子欠陥との関連が急速に明るかにされると共に時効の原因、構造がより明確に知られる様には、だ。鋼材の時効現象に関する研究では炭化物の析出に関するものが圧倒的に多く、最近では、Nb, Ta, Ti, 等を添加した場合の二種の合金元素の炭化物の析出に及ぼす各種格子欠陥の影響に関する報告は興味あるものが多々ある。炭素を含まない鉄合金特にフェライト系の合金については時効現象の研究は実用的意義からマルエイジング鋼が開発されたあたり行われてから、これが近年この方面ににおける研究がかなり行われる様になり、鋼中ににおける置換型溶質原子の zone 形成等に関する注目研究成果が報告されている。これらは語彙については以下に鋼の時効現象をオーステナイト鋼における場合、フェライトにおける場合、マルテンサイトの焼戻しにおける場合に大別し概説する。

(1) オーステナイト鋼における時効現象

a. オーステナイト鋼における炭化物の析出

この方面における研究は実験上の容易さもあり、18%Cr-12%Ni 程の安定なオーステナイト系不锈钢に付されたものが多々ある。二種の不鏽鋼に 0.1% の炭素を添加し約 1300°C から室温に焼入れると容易に過飽和の溶質元素を含む固溶体が得られる。これが 500~700°C の温度において時効処理を施すと一般には Cr_2C が析出する。しかしこれは Nb, Ta, Ti, 等の強力な炭化物形成元素を添加すればクロム炭化物はこれら添加元素の炭化物に置換される。しかも二種の炭化物の析出の構造は非常に複雑である。これらの炭化物の析出の形態と、つづくと

(1) 粒界又は双晶境界における析出する場合

(2) 転位に析出する場合

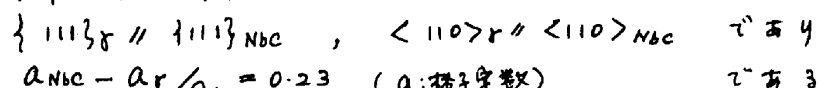
(3) 積層欠陥上に析出する場合

(4) マトリックス中に全面に析出する場合

以上の 4 の場合が考えられる。一般に空格子率及び溶質原子の過飽和度によつてこの析出の形態が優先するが(3)(4)の場合には両者の過飽和度が大きくなれば難い場合が多い。一般によく知られる M_{23}C_6 , NbC , TaC , TiC , V_{4}C_3 等の炭化物は焼入れ等に下り粒玉の転位上に析出し易い。時効温度において転位がエネルギー運動を行ふ時移動しにくく転位上に泡立つことは、炭化物が集合するが認められる。これらはオーステナイト系

鋼中にしばしば認められる種層欠陥は非常に微細な NBC または TaC が析出し、しかもこれら種層欠陥の成長に伴い析出反応が起きたため $\{111\}$ 面上に細い炭化物の網目をつくことはある。 $18\%Cr-10\%Ni$ 不銹鋼に NBC または $2\%WC$ の T を添加すると TaC , D_4C_3 が種層欠陥上に析出すことが知られる⁽⁴⁾。NBC, D_4C_3 , TaC , 等の種層欠陥上への析出機構に関する Silcock et al.⁽⁵⁾ によれば抽出されたモデルによれば NBC 等の析出物の生成と種層欠陥の成長は次の様に関連づけられる。焼入れられた試料中には

$\frac{1}{2}\langle 110 \rangle \rightarrow \frac{1}{3}\langle 111 \rangle + \frac{1}{6}\langle 11\bar{1} \rangle$ 乃是反応によって生成した extra $\{111\}$ 面を持つ種層欠陥がおもにこの種層欠陥を尊く $\frac{1}{3}\langle 111 \rangle$ 部分転位の expansion side に Nb 原子より大きい原子半径を持つ Nb 原子が集まり Nb が核生成する NBC とオーステナイトの方位関係は



これが程度以上にNbでは $\frac{1}{3}\langle 111 \rangle$ 部分転位で先導して種層欠陥の先端の歪場を解消するといふのが出來る。しかし NbC の他端において歪場が生じるため種層欠陥が成長するところによると、空格子東を放し NbC 粒子はその他端において空格子東を吸収してその歪場を解消してしまうとする。種層欠陥が成長し $\frac{1}{3}\langle 111 \rangle$ 部分転位が移動し最後再び同様の析出反応が起れば種層欠陥上に微細な NBC の数が増加し二行くことになる。種層欠陥上への析出は多くのオーステナイト鋼において認められるが析出する炭化物は立方晶構造を持った NbC における認められると同様の方位関係を持つといふが大多數である。この様に $\{111\}$ 面上に析出し反微細な炭化物は転位の通過に際して抵抗となり硬化に寄与することは明らかである。以上述べた粒界、転位、種層欠陥への析出の他にこれら炭化物はストライクス中に析出する。ストライクス中の析出が起ると場合粒界近傍に析出物が認められたり depleted zone が認められるといふ。R-Ni 上述べた不銹鋼を 1300°C から直接 700°C 近くの時効温度へ焼入れるとストライクス中の析出が認められるとしている。これは過飽和の空格子東が形成されると同時に $\frac{1}{3}\langle 111 \rangle$ ためと考えられる。この様な実験事実からストライクス中の析出は vacancy cluster であるには vacancy-solute cluster が核生成して生ずるが⁽⁶⁾。Re-Mo 系では主に空格子東に $20\%Mo$ 合金において vacancy cluster が $\{100\}_{d} \parallel \langle 111 \rangle$ で形成された後にモリブデン-rich zone が形成されることが報告されている。

b. オーステナイト鋼に下けた金属間化合物の析出

オーステナイト鋼特に $(20\sim30\%)Ni$ 主合金元素とする合金に Ti を添加し硬化させるとがよく行われる⁽⁷⁾。この合金系において向類となる金属間化合物は数種あるが實際工重要性のは $MnTi$ との準安定析出相 (γ') である。下記では γ' と呼ばれる金属間化合物に比べて析出がストライクス全面に起り易く、析出量が多くて析出物相互の間隔が狭いこと、 γ' に母地との coherency がなく界面に弱性に方で γ' が $\langle 111 \rangle$ 方である。Ti と同様の効果を期待する元素添加元素に V, Nb, Ta, Mo 等が挙げられる。 γ' は一般にストライクス中に全面に析出しこの場合粒界近傍に γ' depleted zone が認められるといふ。析出過程は原子空孔が大きい役割を果して γ' が想像される。 γ' が γ

大方晶の Na_3Ta_2 は変態する場合には γ 中の積層不整の部分に大方晶の Na_3Ta_2 が柱状成長する二段が認められる。⁽⁸⁾

(2) マルテレサイトの焼成過程における析出現象(二次硬化現象)

炭素鋼マルテレサイトの焼成過程における生成する鉄炭化物の研究は古くから行わたり現にまで Mössbauer効果を利用した研究⁽⁹⁾が発表されるなど多くの研究があるが、これは Mo, Cr 等を含んだ合金鋼マルテレサイトの焼成過程中に生成する V_4C_3 , Mo_2C 等の炭化物をとりあげてその析出過程について述べる。これら合金鋼マルテレサイトと焼成して行くと約 $400^{\circ}C$ では ϵ -炭化物⁽¹⁰⁾⁽¹¹⁾⁽¹²⁾ にはそれが主の濃度範囲でセメントタイトが析出する。 $420\sim 500\sim 700^{\circ}C$ の温度では脱碳化が起こり莫大な Mo, Cr 等の炭化物が析出する。ところであるが現在ニカラス炭化物の析出初期における形態、あるいは析出の起る場所に研究の興味が集中していふ様に窺われる。析出する場所については

(1). 500°C以上でセメレタイトはフェライト中に溶解しての純O, Mn等の炭化物がセミタイトが存在した位置では無条件に転位線上などに析出する。

(2). 3²⁺¹は折点12%でメタリトー部又はセメントイトとエライトの境界にM_o等の炭化物が析出する。(in situ nucleation)

以上 2 の場合が居る。大部分の $V_4C_3 Mo_2C$ はマルテサイト変態の際に生じた後、冷却過程中に電子を消滅せざる、この転位上にそれが微細な針状及び板状で析出する。 $Mo_2C V_4C_3$ と他のフェライトとの方位関係は以下の如くである。⁽³⁾⁽⁴⁾



板状の V_4C_3 が析出する場合フェライト中の転位の一部が jog の形成率は $\pm 9 \sim 100\%$ 上の $\pm 2\sim 3$ を基準の方向関係を保つ板粒に析出し易い。Fe-Au系に本 ± 2 転位線に ± 3 , $\pm 2 \sim 100\%$ 上に Au 原子が板状に析出する事とが知られ $\pm 2\sim 3$ が Hornbogen によれば $\{110\}$ 上面の転位が jog 形成などによると、一部 $\{100\}$ 上に ± 3 や Au 原子の転位線への偏折に伴う $\pm 100\%$ 上面の転位が強張したもの積層圧延工に複数の Au 原子が析出する。⁽⁵⁾ Mo-D. 等を含む合金鋼マルテナイトの二次硬化は主として $\pm 2\sim 3$ 転位線上に析出した微細な Mo_2C , V_4C_3 によると考えられる。一方最近では、 ± 2 Honeycombe et al. によると Fe-Mo-C 鋼に本 ± 2 セメタイトと Mo_2C からの電子回折像と暗視野像とともに用ひてとには ± 2 Mo_2C セメタイトとフェライトとの境界に本 ± 2 棱生成する事とが示されエトル⁽¹⁶⁾ の様に 1. 棱生成 2. Mo_2C は境界はセメタイトとフェライトの間に interfacial dislocation による優先析出¹⁵ といふ考え方があるが実験的確証は得られていない。又の様に棱生成 1. Mo_2C は転位上に析出し ± 2 ものより一般に大である。これら合金鋼マルテナイトの焼成温度は $\pm 2\sim 2$ に述べた不鏽鋼と同様に強力な炭化物形成元素 (Nb, Ta, Ti) を微量添加する事により二次硬化がより顕著になる事が出来る。⁽¹⁷⁾ これは Nb, Ta, Ti 等により Mo_2C , V_4C_3 等の主たる炭化物が変化する事と云ふが、Nb, Ta, Ti 等の炭化物の析出は ± 3 のが明確である。

(3) フェライトに析出する時効現象

a. 炭化物、窒化物の析出

炭素、窒素と過飽和に含む Fe フェライトから炭化物や窒化物の析出は炭素鋼の降伏現象、歪時効現象などには遡れ深く現象等に関連して内部摩擦、電気抵抗測定、等に機械的性質の測定等を用いて研究され Cottrell の理論等多くの分野で鋼の研究上重要な理論が生まれた。現在における最も重要な研究が二つある。一つは元素による Fe-Au, Fe-Cu, Fe-Mo, Fe-W の析出現象である。

b. 置換型合金元素を含むフェライトに析出する現象

鋼を強化する立場から二つの分野における Fe-Ferrite と Coherency のよい溶質原子の Zone および金属間化合物の析出並びに準安定相の存在とその析出機構を知るには非常に重要な要素である。Fe-Ferrite に析出する元素は G-P Zone の析出が報告されているのは Fe-Au 系のみである。Fe-Au 系においては複数の Zone が $\{100\}$ 上に析出し Fe-Cu 系でははじめに球状の Zone が析出し 300 \AA MI に成長し棒状に成長して成長する。⁽¹⁵⁾ Fe-Au, Fe-Cu 系の Zone は共に時効が進行するにつれて面心立方構造をもつ Au, Cu 側の固溶体に変態する。Fe-Cu 系では二つの変態が Zone から直線に起こる (in situ transformation) ことが確認されており、周期律表の DT4 技術に属する Cr, Mo, W と Fe は元素として準安定化能の Cr, Mo, W-rich 相が析出する。その他の Fe-Cr は元素に本位では 13~80% Cr を含む合金を 475°C 近傍で時効すると Cr-rich 相が析出し著しく脆化する事が知られる。この Cr-rich 相は約 600°C WLF で Fe-Cr は元素に存在する miscibility gap は約 2~3 であると考えられる。⁽¹⁸⁾⁽¹⁹⁾ Fig. 1 は著者等による実験の一例で Cr-rich 相の析出に対応して著しい電気抵抗変化を示す。

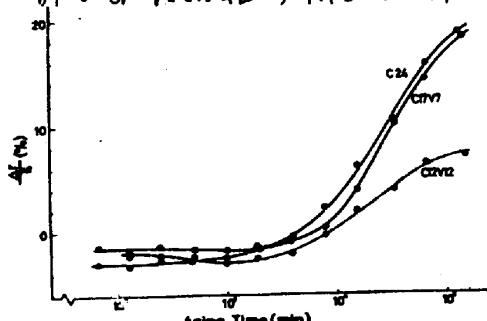


Fig. 1 は Fe-Mo 素材における Fe-20%Mo 合金を 1400°C で水冷して入浴 500°C で時効した時の $\{100\}$ 上に成長した電気抵抗の変化である。Mo-rich 相の周囲は 90% Mo を含む Mo-rich Zone が析出する事が知られる。⁽⁶⁾ Fe-10%W 合金では W-rich Zone が析出する。⁽²⁰⁾

引用文献

- | | |
|--|------------------------------------|
| 1. R.K. Pittler and G.S. Ansell. | Trans. ASM 57(1964)220 |
| 2. J.M. Gilcock | J. Iron Steel Inst. 201(1963) 109 |
| 3. J.S.T. Van Aswegen et al | Acta Met. 12(1964) 1 |
| 4. J.J. Tran | J. Iron Steel Inst. 203(1965) 913 |
| 5. J.M. Gilcock et al | J. Iron Steel Inst. 187(1957) 314 |
| 6. F. Hornbogen | J. Iron Steel Inst. 188(1958) 393 |
| 7. T.W. Eichelberger | J. Iron Steel Inst. 189(1959) 196 |
| 8. Precipitation from iron-base Alloy. 1963. 105 | Acta Met. 10(1962) 525 |
| 9. P.M. Greben et al | J. Iron Steel Inst. 204(1966) 1114 |
| 10. K. Kuo | J. Iron Steel Inst. 203(1967) 226 |
| | Trans. AIME 230(1964) 676 |
| | J. Iron Steel Inst. 185(1957) 258 |
| | Z. Metallkde. 52(1961) 47. |
- Fig. 1
温度: 1400°C
時効温度: 500°C
時間: 0, 5, 10, 15, 20, 30, 45, 60 分
C24: Fe-24Cr
C17V7: Fe-17Cr-7V
C12V2: Fe-12Cr-12V
(1) R.K. Pittler and G.S. Ansell. Trans. ASM 57(1964)220
(2) J.M. Gilcock J. Iron Steel Inst. 201(1963) 109
(3) J.S.T. Van Aswegen et al Acta Met. 12(1964) 1
(4) J.J. Tran J. Iron Steel Inst. 203(1965) 913.
(5) J.M. Gilcock et al J. Iron Steel Inst. 187(1957) 314
(6) F. Hornbogen J. Iron Steel Inst. 188(1958) 393
(7) T.W. Eichelberger J. Iron Steel Inst. 189(1959) 196
(8) Precipitation from iron-base Alloy. 1963. 105
(9) P.M. Greben et al Acta Met. 10(1962) 525
(10) K. Kuo J. Iron Steel Inst. 204(1966) 1114
(11) E. Smith et al J. Iron Steel Inst. 187(1957) 314
(12) A.K. Seal et al J. Iron Steel Inst. 188(1958) 393
(13) (14) Precipitation from iron-base Alloy. 1963. 105
(15) F. Hornbogen Acta Met. 10(1962) 525
(16) D. Raynor J. Iron Steel Inst. 203(1967) 226
(17) J.J. Tran J. Iron Steel Inst. 203(1967) 226
(18) R.M. Fisher et al Trans. AIME 230(1964) 676
(19) R.O. Williams et al J. Iron Steel Inst. 185(1957) 258
(20) E. Hornbogen et al Z. Metallkde. 52(1961) 47.